

Barium-Ferrite 組織構造에 關한 研究(第二報)

安 永 強 · 吳 平 濟

(漢陽大學校) (建國大學校)

金 東 洙 · 都 命 基

(嶺南大學校)

Studies on Microstructure of Barium Ferrite. <2nd. Report>

Young-Pil Ahn, Pyoung-je Oh

<Han Yang Univ.> <Dept of Chem, Kon Kuk Univ>

Dong-Soo Kim, Myung-Ki Doh

<Dept. of Chem, Yeung Nam Univ>

(1971. 2. 1 接受)

ABSTRACT

The Optimum Conditions of Preparing barium Ferrite from BaCO_3 and Fe_2O_3 are Sought for with electron microscope.

At first to find the optimum sintering temperature, the mixture in 1 : 3 mole ratio. Sintered primarily at 700°C for an hour, is Sintered secondary at $960^\circ\text{C} \pm 10$, $1040^\circ\text{C} \pm 10$, $1120^\circ\text{C} \pm 10$, $1200^\circ\text{C} \pm 10$, $1250^\circ\text{C} \pm 10$, $1330^\circ\text{C} \pm 10$, respectively for an hour. at the optimum temperature obtained in this way. Sintering time is varied from 10 minutes to 120 minutes with 10 minutes intervals.

Through the experiment, It is found that the optimum temperature of $1200 \sim 1250^\circ\text{C}$ and optimum time of half—one hour.

I. 譜 論

Ferrite 가 磁性을 나타내는 것은 酸化 金屬과 酸化 第二鐵의 粉狀混合物을 一定한 壓力下에서 成形하고 比較的 高溫에서 一次 烧結하면 原料가 反應하여 Ferri-magnet 物質이 되며 이는 大部分 電子의 Spin magnetic moment에 依해서 發生되는데 이것은 Ferro magnetism 으로 自發磁化가 일어나는 것이다. 特히 炭酸바륨과 酸化第二鐵間에 일어나는 Barium-Ferrite 의 固相反應에 關한 研究는 많았으나^(1~3) 電子현미경을 利用한 組織構造에 關한 研究는 부족하였다. J. Drobek⁽⁴⁾가 Ferroxture의 表面構造를 replica 法으로 관찰하였고 Staijt⁽⁵⁾는 $\text{BaO} \cdot 5\text{Fe}_2\text{O}_3$ 의 微細構造를 관찰한 일도 있었다. 前報⁽⁶⁾에서는 炭酸바륨과 酸化第二鐵의 粉狀混合物을 mole 比를 달리 하여 成形하고 一次燒結하였을 때 일어나는 Hexagonal Barium-Fer-

rite의 表面組織을 관찰하였으며 本文에서는 炭酸바륨과 酸化第二鐵間의 mole 比를 1 : 3으로 하고 烧結條件를 變化시켰을 때 일어나는 烧結粒子의 成長過程을 고려하면서 表面構造를 replica 法으로 電子현미경을 利用하여 관찰하였으며 烧結現象에 따른 物性의 測定⁽⁷⁾과 相互比較하여 검토하고자 한다.

II. 實 驗

1. 原料

本 實驗에 使用한 炭酸바륨은 Merck 製 酸化第二鐵은 Kishida(日本)製 特급시약을 原料로 使用하였으며 그 化學組成은 다음 表 1과 같다.

表 1. Chemical Composition of Powders used

Material	Chemical Composition(%)				
	Fe_2O_3	SiO_2	Al_2O_3	CaO	MgO
산화제 2철	97.572	0.163	0.245	1.26	0.76

2. 試料의 제조

粒度가一定한 탄산바륨과 산화제2철의 粉狀混合物을 1:3 mole 比率로 혼합하여 습식으로 磁材 Ball-mill 内에서 12시간 교반시켜 건조하고 분쇄한 다음 일본 島津製 Universal Test Machine 을 利用하여 1.5ton/cm² 的 壓力下에서 직경 15mm~20mm, 높이 6mm 的 圓柱로 성형하여 Lindberg-Type 自動溫度조절용 電氣爐를 使用하여 자동온도상승에 따라 700°C에서 1시간 동안 가열하여 일차 假燒處理한 다음 그 부피를 計算하고 그 平均值을 V_0 라 하였다. 위의 시료 일부를 백금 접시에 넣어 미리 960°C, 1040°C, 1120°C, 1250°C, 1330°C로 예열된 같은 전기로에서 1시간 동안 가열시킨 후 방치 냉각한 것을 시료로 사용하였고 그 부피를 계산하고 그 平均值을 V_1 라 하고 수축률의 변화를 다음과 같이 계산하였다.

$$\text{Shrinkage\%} = \frac{V_0 - V_1}{V_0} \times 100$$

다시 일차 소성한 시료를 백금 접시에 넣어 미리 1250°C로 예열된 같은 전기로에서 각각 10분, 30분, 90분, 120분 동안 가열한 후 放置冷却할 것을 시료로 사용하였다.

3. 電子현미경 관찰

시료의 소결현상에 對한 관찰을 하기 위하여 다음과 같은 조작을 行하였다.

(a) 먼저 산화크롬(Cr_2O_3)의 견마제를 사용하여 라샤지위에서 表面을 닦아 깊음을 확인한다.

(b) 중류수로서 세척합과 同時に 침식시켜 말린 후 시료 표면에 Methyl acetate 를 바르고 이 위에 Triacetyl cellulose(TAC) film 을 얹어 놓고 완전히 마른 후 떼어내어 一段 replica 를 한다.

(c) 一段 replica 를 Slide glass 위에 고정하여 vacuum evapulator 에 넣어서 $4 \sim 5 \times 10^{-5}$ mmHg 下에서 (極과 replica 간 거리는 5~7cm) 크롬(Cr) Shadowing 한 후 Carbon Coating 을 한다.

(d) Carbon Coating 이 끝난 후 적당한 넓이로 짧은 paraffin Coating 을 한다.

(e) 약 50°C 정도로 가열한 methyl acetate 와 acetone 에 넣어 Triacetyl cellulose(TAC) film 과 paraffin 을 제거하여 Carbon thin film 을 만든 후 mesh 上에 附着시켜 검정했다.

이때 사용한 진공증착기는 日製 Hitachi Hus-s type 에 Ionization Vacuum gauge Control(Type GI-T)을 부착한 것을 사용했고 전자현미경은 日本 AKAHI (明石)製 TRS-50型으로 分解態 20Å, 加速電壓 50KV 적접배율(최대) 30,000배의 것이다.

III. 結果 및 考察

BaCO_3 와 Fe_2O_3 의 固相反應은 약 600°C에서 시작하여 먼저 BaFe_2O_4 가 생성한다. 이 相은 BaO 와 Fe_2O_3 가 1:1의 mole 比 부근에서는 單一相이고 용융점 까지 안정하나, mole 比가 이 범위를 벗어난 영역에서는 잔유하고 있는 BaCO_3 또는 Fe_2O_3 와 800°C 이상에서 반응을 일으켜 $2\text{BaO} \cdot \text{Fe}_2\text{O}_3$ 또는 $\text{BaO} \cdot 6\text{Fe}_2\text{O}_3$ 등의 결정상이 생긴다. mole 比가 1:1~1:6의 영역에 걸쳐 $\text{BaO} \cdot 6\text{Fe}_2\text{O}_3$ 가 생성한다고 보고되고 있다. 또한 Erchak⁽¹⁾에 의하면 BaCO_3 와 Fe_2O_3 와의 固相反應에서는 BaCO_3 의 함유량이 5~50%의 범위에서 750°C 이상의 온도이면 $\text{BaO} \cdot 6\text{Fe}_2\text{O}_3$ 가 생성함을 보고하고 있다. Ziolowski⁽¹²⁾ 및 Batti⁽¹³⁾의 연구로는 $\text{BaO} \cdot 6\text{Fe}_2\text{O}_3$ 는 1450°~1500°C에서 용융하며 동시에 분해되어 $\text{BaO} \cdot 2\text{FeO} \cdot 8\text{Fe}_2\text{O}_3$ 혹은 $\text{BaO} \cdot \text{Fe}_2\text{O}_3$ 와 Fe_2O_3 또는 Fe_3O_4 로 됨을 보고하고 있으며 또한 前報에서^(6, 9, 10, 11) BaCO_3 와 Fe_2O_3 의 mole 比가 1:3이 保磁力이 가장 좋다는 報告가 있었다. 그러므로 이러한 실험을 토대로 하여 BaCO_3 와 Fe_2O_3 을 1:3의 mole 比로 혼합성형하여 700°C에서 1시간 동안 一次 소성한 후 2차 소결온도를 설정하기 위하여 ④ 960°C±10 ⑤ 1040°C±10 ⑥ 1120°C±10 ⑦ 1200°C±10 ⑧ 1250°C±10 ⑨ 1330°C±10 으로 각각 1시간 가열하여 온도변화에 따른 체적변화를 측정하였다. 그 결과는 그림 ①에 表示했으며 각 온도의 전자현미경사진은 그림 ②·③·④·⑤·⑥·⑦에 表示했다. 위의 실험결과에서 각각 온도에서 체적변화는 960°C에서 8.3%, 1040°C는 36.0%, 1120°C는 40.4%, 1200°C는 49.7%, 1250°C는 50.4%, 1330°C는 50.7%이며 1120°C 까지는 급격히 감소했으나 1200°C부터 감소율은 완만하고 1250°C 이후는 일정값을 나타내며 전자현미경 사진과 X-ray 회절상을 비교 검토하면 960°C에서 1시간 가열한 시료에서의 X-Ray 회절상에는 대부분 hexagonal barium ferrite로 되어 있는 것을 미루어 볼 때 전자현미경 사진에 나타난 큰 粒子는 반응이 완료된 Barium ferrite의 一次粒子(미세입자)가 가벼운 소결을 일으켜 응집하여 二次粒子를 形成하고 있음이 사료되며 1040°C의 사진은(그림 3) 상당히 소결이 진행되어 表面 상태가 그림 2와는 상당한 차이가 나며 여기저기 보이는 一次粒子로 形成된 二次粒子는 그림 4, 5로 가드로서 점점 적어지며 그림 6에서는 二次粒子는 없어지고 一次結晶粒子가 성장되어 粒子의 독특한 형태를 나타내고 있다.

그리고 1330°C에서는 Barium Ferrite의 一部가 분

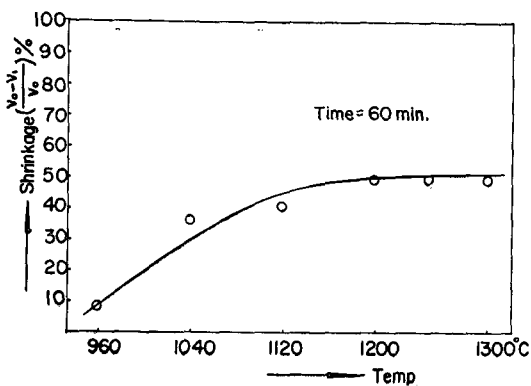


Fig 1. Relations between shrinkage V_s sintering temp. on the formation of Barium Ferrite at constant time.

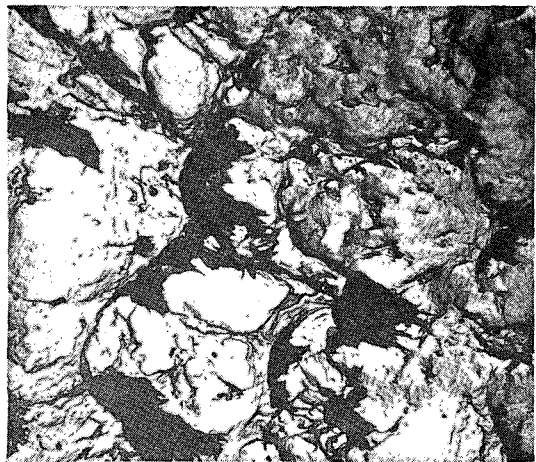


Fig 2. Sample of a sintered at 960°C ± 10 for 1 hours $\times 5,000$

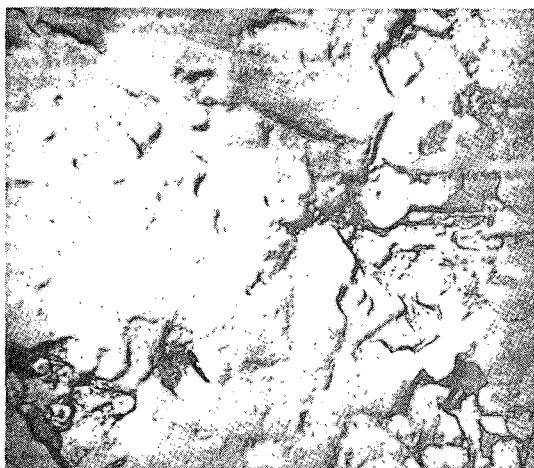


Fig 3. Sample of B sintred at 1040°C ± 10 for 1 hours $\times 5,000$

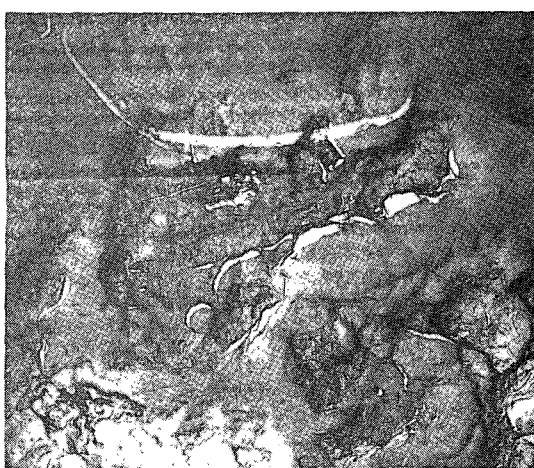


Fig 4. Sample of C Sintereu at 1120°C ± 10 for 1 hours $\times 5,000$

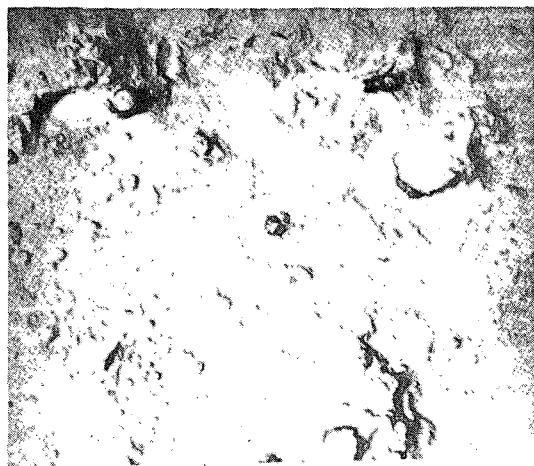


Fig 5. Sample of D Sintered at 1200°C ± 10 for 1 hours $\times 5,000$

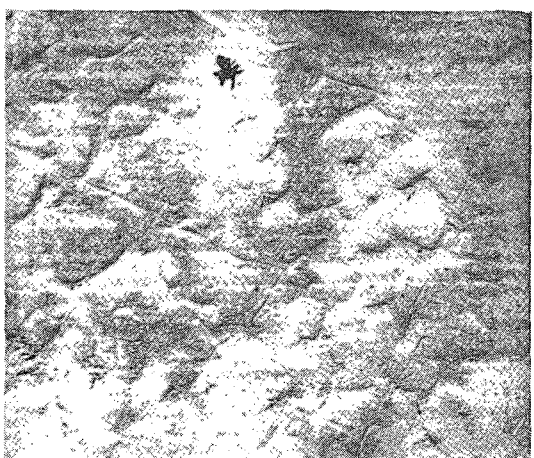


Fig 6. Sample of E Sintered at 1250°C ± 10 for 1 hours $\times 5,000$

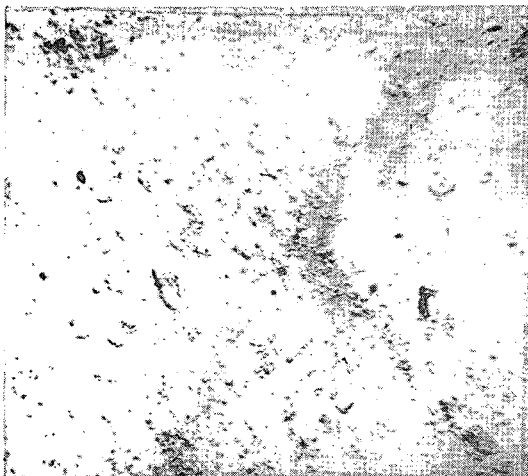


Fig 7. Sample of F Sintered at $1330^{\circ}\text{C} \pm 10$ for 1 hours $\times 5,000$

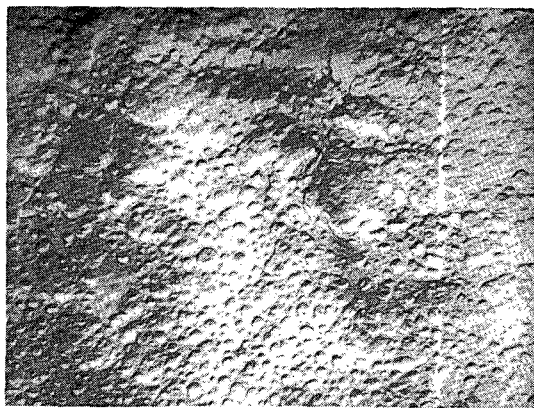


Fig 8. Sample of A sintered at 1250°C for 10 min $\times 5,000$

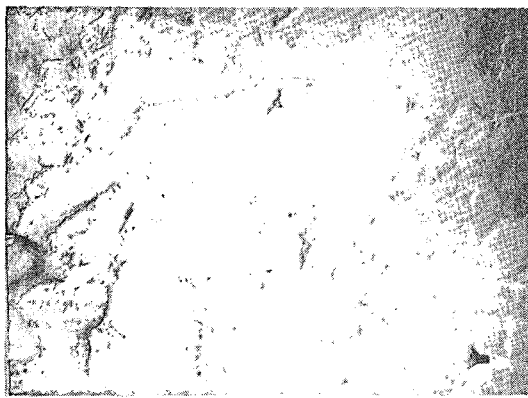


Fig 9. Sample of B sintered at 1250°C for 30 min $\times 5,000$

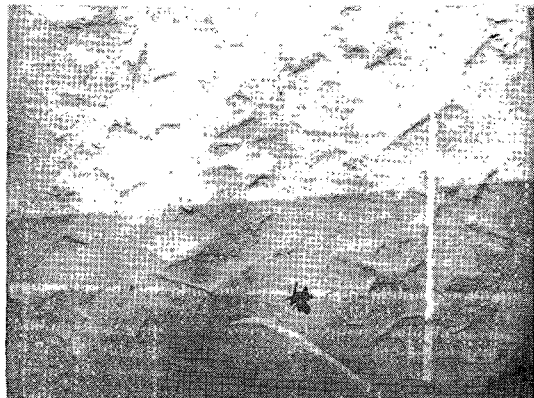


Fig 10. Sample of C sintered at 1250°C for 60min $\times 5,000$

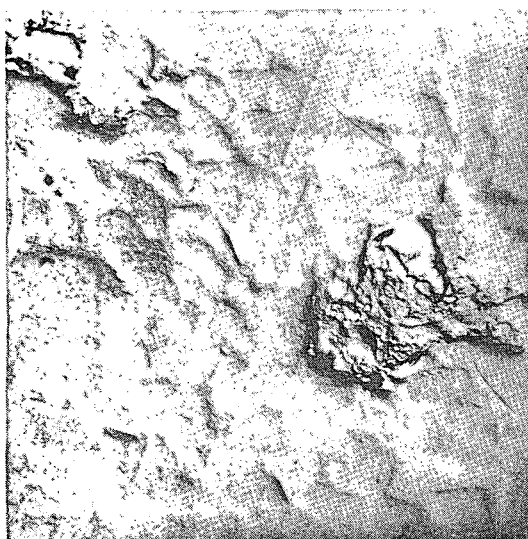


Fig 11. Sample of D sintered at 1250°C for 90min $\times 5,000$



Fig 12. Sample of E sintered at 1250°C for 2 hours $\times 5,000$

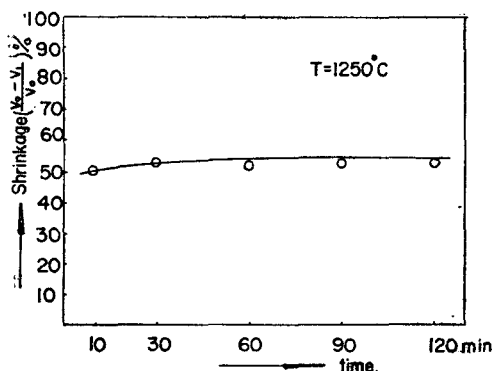


Fig 13. Relations between shrinkage V_s sintering time on the formation of Barium Ferrite at constant temp.

해되어 변화하였는지 그림 7의 전자현미경 사진을 보면 그림 6의 독특한 결정입자의 粒界가 차차 볼 수 없이 변해졌으며 X-ray 像에서도 Barium-ferrite 와 相異한 像을 나타내고 있었다. 이러한 결과는 Goto,²⁾ Okazaki,³⁾ 小菅³⁾ 등의 상태도 이론에서 BaCO₃와 Fe₂O₃의 mole 比 1 : 1 ~ 1 : 6에서는 800°C 以上에서 반응하여 2BaO·Fe₂O₃ 또는 BaO·6Fe₂O₃ 등의 결정상이 생긴다는 것과 Erchak⁽¹⁾의 BaCO₃의 함유량이 5~50%의 범위에서 750°C 이상의 온도면 BaO·6Fe₂O₃가 생성한다는 것이 완전 일치하며 Batti 등의 연구에서 1450°C인 고온에서는 BaO·6Fe₂O₃가 용융하여 분해되어 BaO·2FeO·8Fe₂O₃, 혹은 BaO·Fe₂O₃와 Fe₂O₃로 뭉친다는 보고가 있으나 완전 용해되지 않더라도 즉 1330°C±10°C 정도라도 이미 분해를 일으키지 않는가 사료된다. 이상의 실험결과로서 BaCO₃와 Fe₂O₃의 mole 比를 1 : 3으로 하고 소결온도를 1250°C로 固定하고 소결 과정과 결정성장을 관찰하기 위하여 10分, 30분, 60분, 90분, 120분간 가열하여 얻은 시료의 수축률의 현상은 그림 13에 表示하였으며 전자현미경 사진은 그림 ⑧⑨⑩⑪⑫에 나타내었다. 이상의 그림으로 보아 1250°C의 10分(그림 8) 가열에는 一次粒子가 表面만이 용결되어 表面이 Smooth하게 보이며 아직 末응결된 작은 二次粒子가 여기저기 표면에 보이며 시간을 30분으로 하면 그림 9에 나타낸 것과 같이 일차결정 입자가 급격히 성장하여 표면까지 結晶粒界가 뚜렷하게 나타나며 60분의 그림 10, 90분의 그림 11에도 結晶粒界가 뚜렷이 나

타나고 있으나 結晶粒子의 크기는 큰 변화가 없다. 이것은 一次粒子가 작고 고르며 어느정도까지는 일시적으로 성장한다는 Takada²⁾의 Fe₂O₃의 결정성장 연구와 일치하며 120分(그림 12)의 가열에서는 結晶成長粒子中에 아직까지 보이지 않는 새로운 結晶이 生成하고 있는 것도 나타나고 있다.

IV. 結論

炭酸바륨과 酸化第二鐵間에 일어나는 固相反應에 관한 研究는 많았으나 比較的 高溫에서 소결에 따른 粒子成長을 電子顯微鏡으로 研究한 事實은 없었다.

本文에서는 原料를 比較的 高溫狀態인 1000°C 以上에서 단계적으로 소결시켰을 때 소결에 따른 粒度成長을 電子顯微鏡으로 관찰하였고 소결온도에 따른 체적 감소율과 X-ray 회절상을 비교하여 前報에서의 6, 7, 9, 10, 11의 研究와 比較 검토하여 다음과 같은 결론을 얻었다.

(1) BaCO₃와 Fe₂O₃의 一次燒結溫度를 700°C로 한 二次燒結溫度는 1200°C~1250°C가 제일 좋았고 燒結時間은 30分~90分까지로 되어 있으나 특히 30分~60分이 좋았으며 120分으로 하면 새로운 결정이 생성함을 알았다.

(2) 온도가 상승함에 따라 결정성장이 증가하고 960°C~1120°C 사이는 미소결 현상이 심하고 1200~1250°C는 완전소결하고 1330°C에서는一部가 분해되어 독특한 결정입자의 粒界가 변했다.

(3) 체적변화는 960°C~1120°C까지는 급격히 감소했으나 1200°C에서는 감소율이 완만하고 1250°C 이후는 일정값을 갖는다.

V. REFERENCES

- 1) Michael Erchak, Jr. J. Fankuchan and Roland Ward. (1946). Reaction between Ferric Oxide and Barium Carbonate in the Solid phase. Identification of phases by X-ray Diffraction. J. Am. Chem. Soc., 68, 10. 2085-2093.
- 2) Goto Y., T. Takada(1960). J. Amer. Ceram. Soc., 43, 150.
- 3) Okazaki, C.(1965). Review of Barium Ferrite J.S.P.M., 12, 1, 93~101.
- 4) Drobek J., W.C. Bigelow and R.G. Wells. (1961). Electron Microscopic Studies of Growth Structure in Hexagonal Ferrites. J. Amer. Ceram. Soc., 44, 262-64.
- 5) 電子顯微鏡學編(1960). 電子顯微鏡의 理論과 應

- 用Ⅲ, p.220. 日本丸善株式會社.
- 6) 李恍, 都命基: 한국 전자현미경 학회지 Vol. 1, No. 1 (1969)
- 7) Kim Hwang am, Kim Dong Soo, Doh Myung Ki, "Study on the sintering phenomena of Barium-Ferrite" 영남대 학교 논문 제4집(1970)
- 8) 小菅皓二: "Ferrite の 平衡状態図" 粉體 및 粉末冶金, 第16卷 第4號 1969. p.177.
- 9) Whang-Bo Han, Doh Myung Ki.(1967). Studies on the Reaction Kinetics of Barium Ferrite. J.K.I. Chem., 5, 4, 215.
- 10) Whang-Bo Han, Doh Myung Ki.(1968). Studies on Preparation and Magenetic Properties of Barium Ferrite. J.K.I. Chem., 6, 4.
- 11) Kim Dong Soo, Doh Myng Ki. (1969) "studies on the magnetic properties and Crystal Structure of Barium Ferrite by X-ray diffraction. 영남대 학교 논문집 Vol. 3.57~66.
- 12) Ziolowski.(1962). Pseudobinary system BaO· Fe_2O_3 —BaO· Fe_2O_3 , Hutniczych 14, No. 3, 155-63.
- 13) Batti. (1962). Region in the Ternary System BaO· Fe_2O_3 — Al_2O_3 . Univ. Studi Trieste Fac. Ing. Ist. Chim. Appl. No. 11, 33pp. (1961)